



ÉQUATIONS DIFFÉRENTIELLES ET ÉLECTROPHYSIOLOGIE CARDIAQUE

Amadou Dieye, Wilfried Djomeni
Djiela, Alexandre Giuly

Jean-Frédéric Gerbeau

27 février 2020



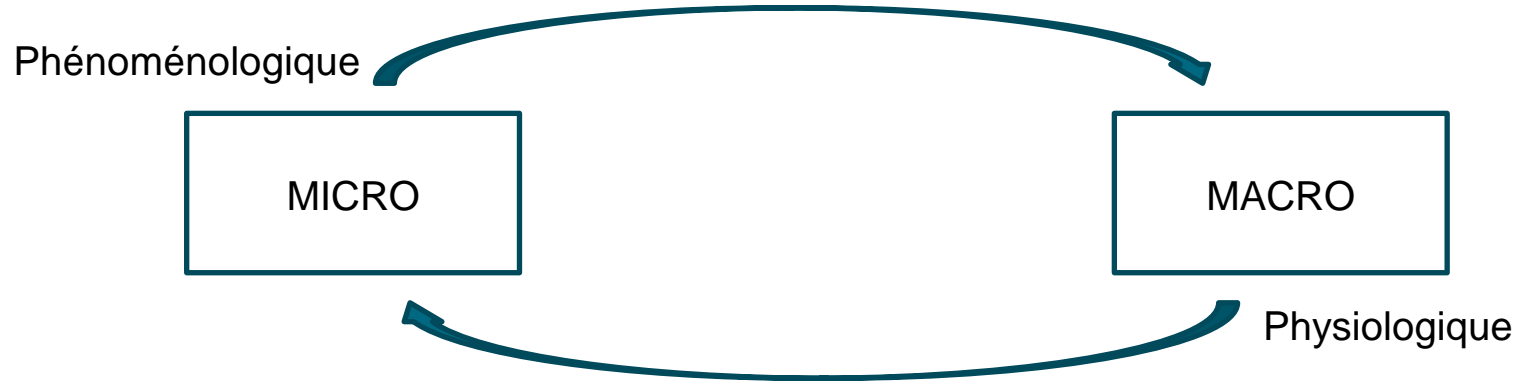
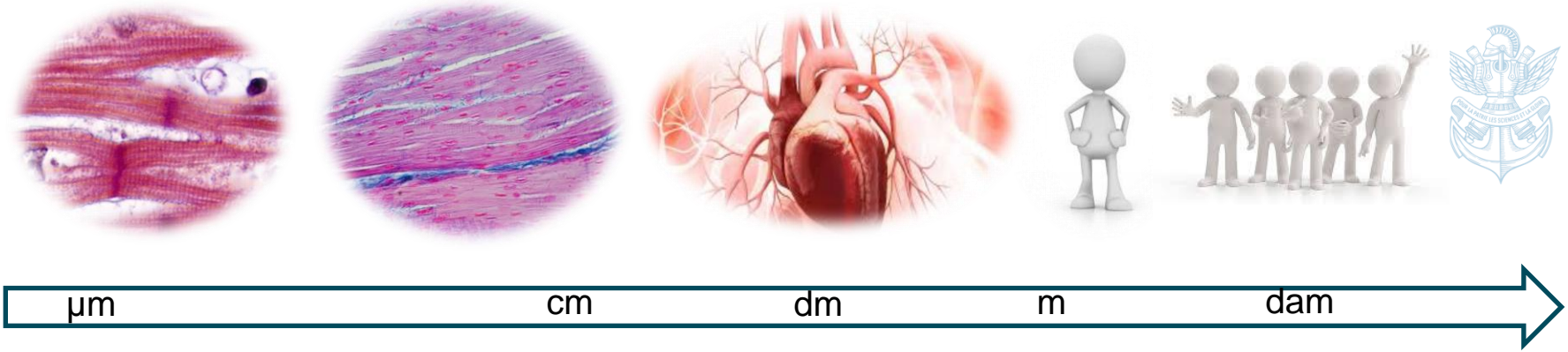
INTRODUCTION

ÉCHELLES ET MODÈLES



I.1. MODÈLE PHYSIOLOGIQUE VS MODÈLE PHÉNOMÉNOLOGIQUE

introduction





- Echelle cellulaire pour traiter l' électrophysiologie cardiaque
- Formalisme physiologique de Hodgkin-Huxley - Canaux ioniques et variables d'activation
- Plan :
 1. FitzHugh-Nagumo
 2. Mitchell-Schaeffer
 3. FKPP
 4. Propagation de potentiel d'action via Michel-Schaeffer (1D et 2D)



MODÈLE DE FITZHUGH-NAGUMO

RÉSOLUTION DU PROBLÈME



II. 1 LE MODÈLE DE FITZHUGH-NAGUMO



- Un modèle de propagation du potentiel d'action dans l'axone géant de calmar.
- Un bilan de courants dans la membrane
- Activité des canaux sodiques et potassiques

$$\begin{cases} C_m \partial_t V_m = -\bar{g}_K n^4 (V_m - E_K) - \bar{g}_{Na} m_\infty (V_m)^3 (0.8 - n) (V_m - E_{Na}) - \bar{g}_L (V_m - E_L) := f(v, n) \\ \partial_t n = \frac{n_\infty - n}{\tau_n} \end{cases}$$

Simplification du modèle : la famille des problèmes de FitzHugh-Nagumo

$$\begin{cases} \partial_t v = f(v) - w + I_{app} \\ \partial_t w = \epsilon(\beta v - \gamma w) \end{cases}$$

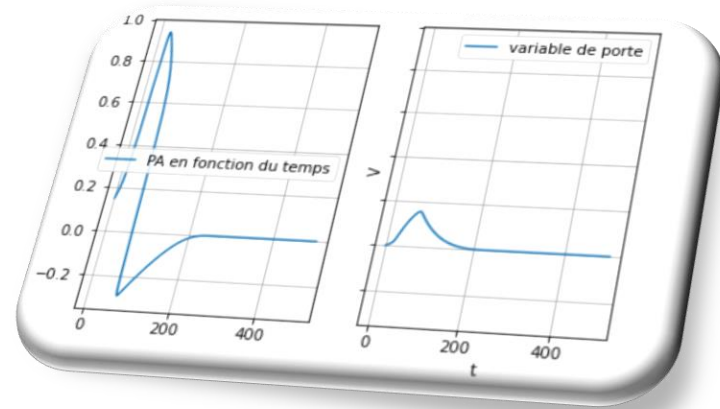
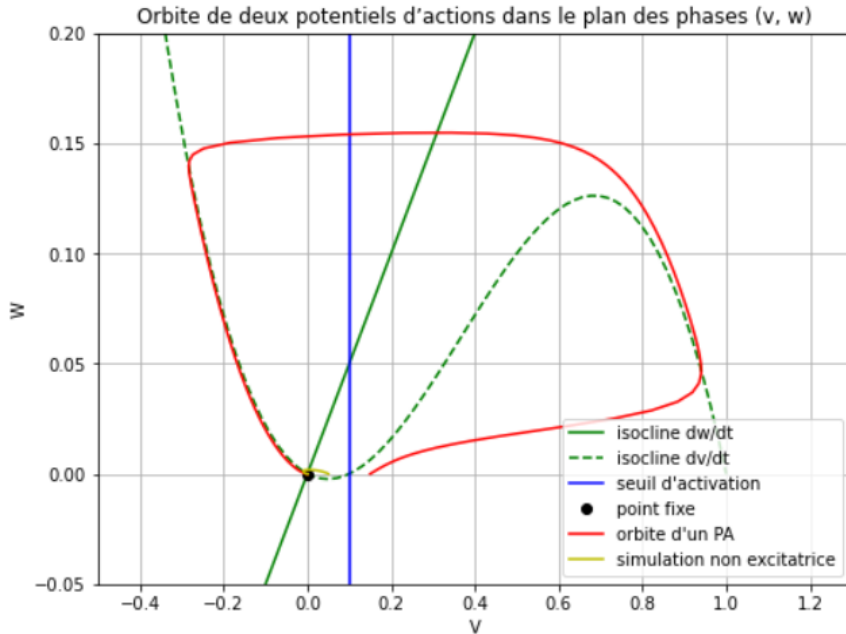
avec $f(v) = v(1-v)(v-\alpha)$ pour $0 \leq \alpha \leq 1$ et $\epsilon \ll 1$.

II. 2 RÉOLUTION DU PROBLÈME

FitzHugh-Nagumo



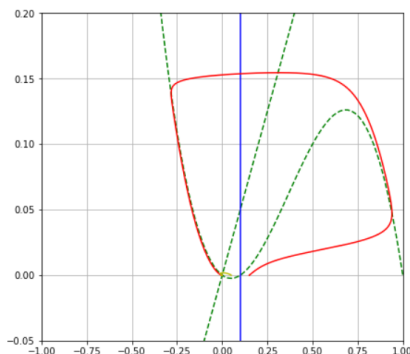
➤ La méthode Odeint



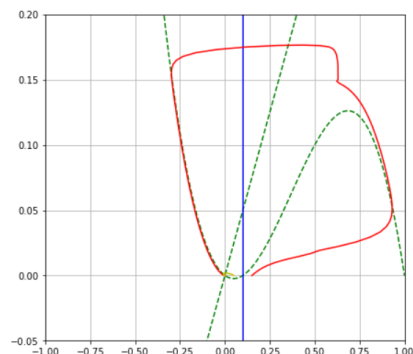
- Inconditionnellement stable
- Facile à implémenter
- Plusieurs points fous



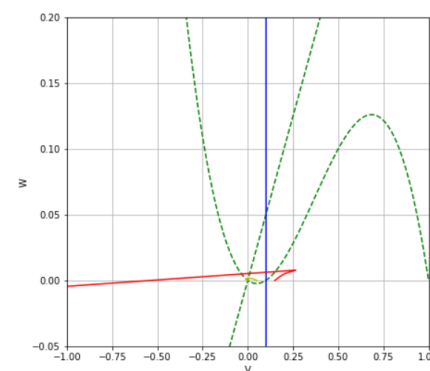
➤ La méthode Euler implicite



$h = 0,01$



$h = 1$



$h = 2$

- Difficile à implémenter
- Analyse fine sur les pas de temps
- Problèmes de stabilité



MODÈLE DE MITCHELL-SCHAEFFER

RÉPONSE À UN STIMULUS SIMPLE ET DOUBLE



III.1. ÉQUATIONS DU MODÈLE



➡ besoin d'un nouveau modèle plus pertinent (avec plateau et sans hyperpolarisation)

- Le potentiel transmembranaire $v(t)$

$$\frac{dv}{dt} = J_{\text{in}}(v, h) + J_{\text{out}}(v) + J_{\text{stim}}(t)$$

Diagram showing the decomposition of the input current $J_{\text{in}}(v, h)$ and the output current $J_{\text{out}}(v)$ from the main equation.

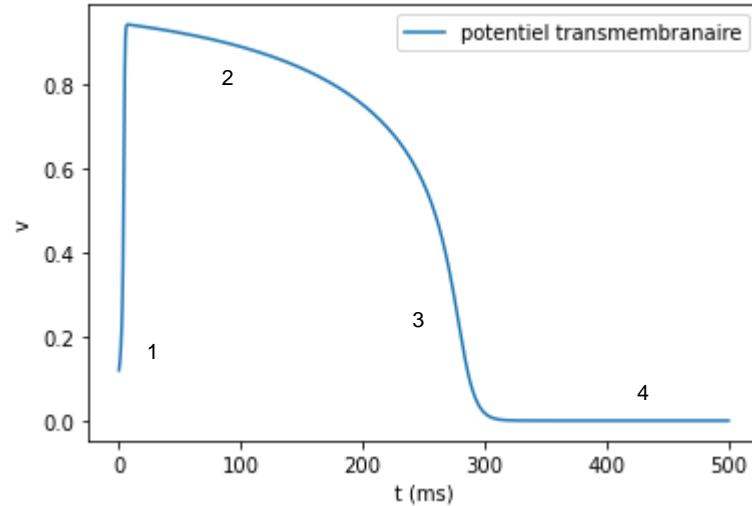
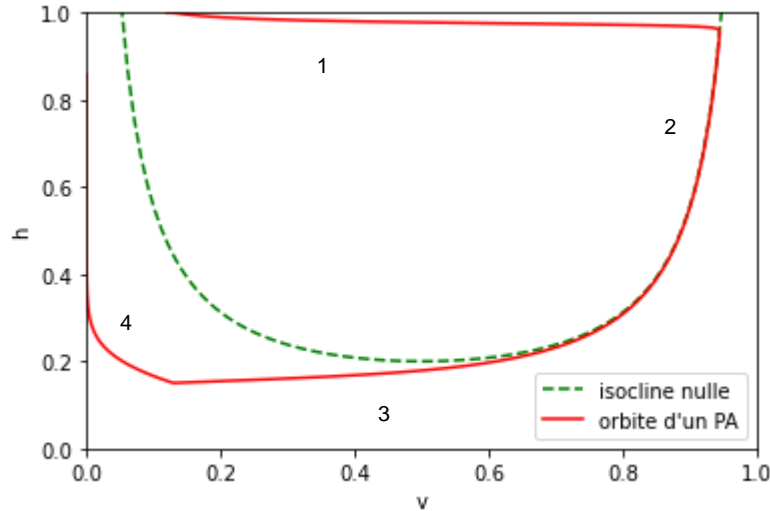
$$J_{\text{in}}(v, h) = \frac{hC(v)}{\tau_{\text{in}}}$$
$$J_{\text{out}} = -\frac{v}{\tau_{\text{out}}}$$
$$C(v) = v^2(1-v)$$

- La variable porte $h(t)$

$$\frac{dh}{dt} = \begin{cases} \frac{1-h}{\tau_{\text{open}}} & \text{if } v < v_{\text{gate}} \\ \frac{-h}{\tau_{\text{close}}} & \text{if } v > v_{\text{gate}} \end{cases}$$

III.2.1. RÉPONSE À UN STIMULUS SIMPLE

Mitchell-
Schaeffer



4 phases caractéristiques :

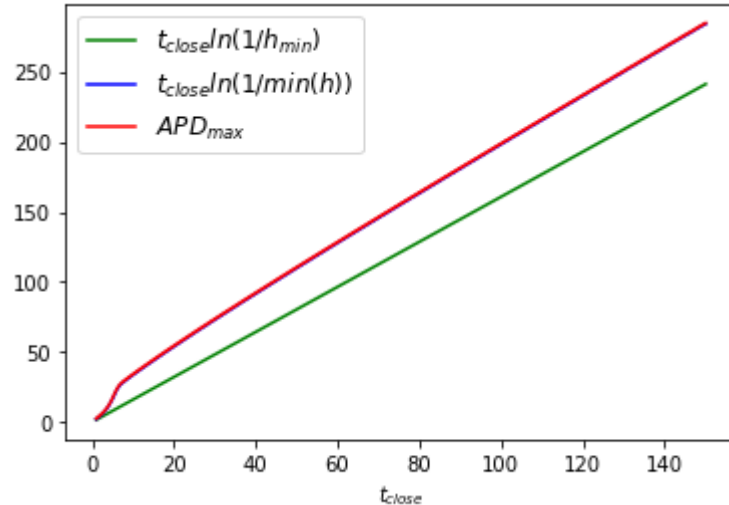
1. J_{in} domine J_{out} et v augmente rapidement – dure τ_{in}
2. Porte se ferme, v suit l'isocline nulle, équilibre $J_{in} = J_{out}$ - dure τ_{close}
3. h atteint h_{min} , J_{out} domine J_{in} , v chute - dure τ_{out}
4. Porte se réouvre progressivement – dure τ_{open}

III.2.1. RÉPONSE À UN STIMULUS SIMPLE - APD

Mitchell-
Schaeffer



$$APD_{max} = \tau_{close} \ln\left(\frac{1}{h_{min}}\right) \quad \text{avec} \quad h_{min} = 4 \frac{\tau_{in}}{\tau_{out}}$$



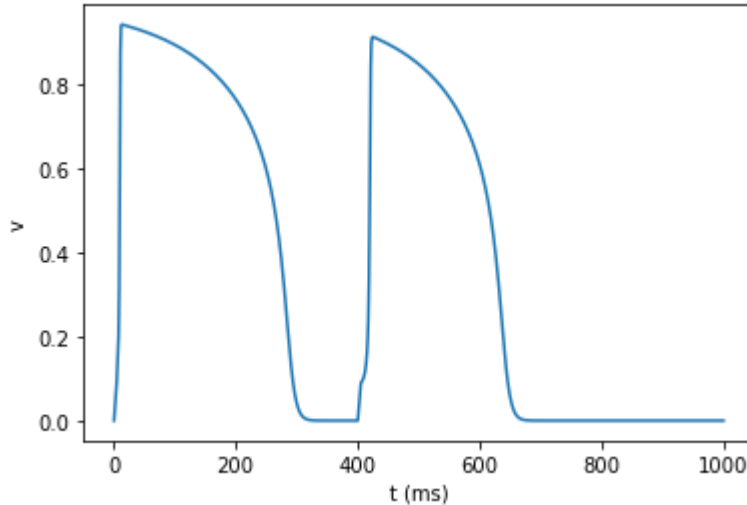
- Formule correcte
- Exprimée en fonction des constantes caractéristiques du problèmes
- Remplacer h par son réel minimum fournit des résultats très pertinents mais nécessite un coup de calcul

III.2.2 RÉPONSE À UN STIMULUS DOUBLE

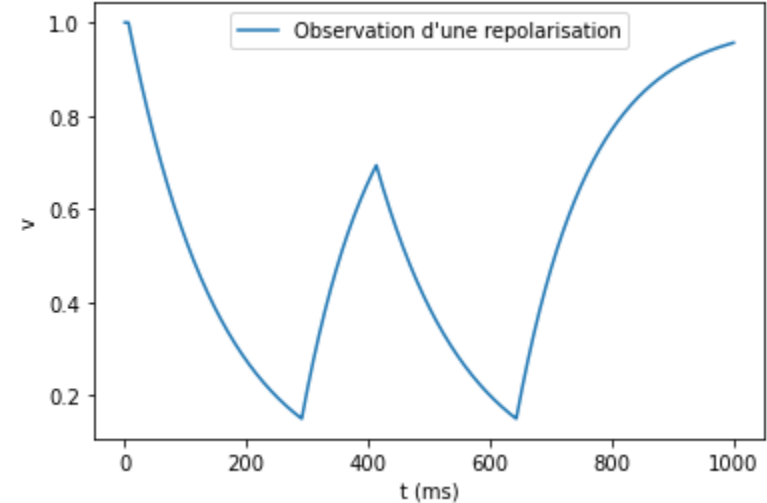
Mitchell-
Schaeffer



- On excite à nouveau le système revenu au repos après une durée S
- On s'intéresse à $APD_2 = F(DI)$ où $DI = S - APD_1$
- La réponse diffère de la première car le système n'est pas revenu au repos



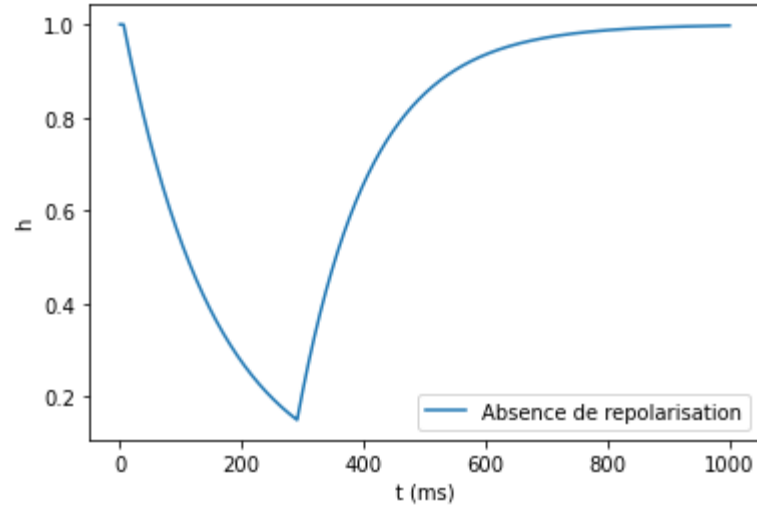
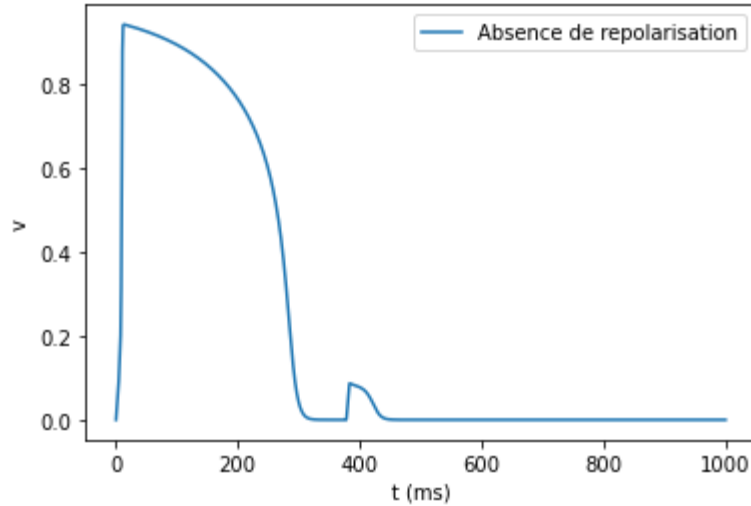
➡ Apparition d'un deuxième potentiel plus court



➡ Porte n'a pas le temps de se rouvrir complètement

III.2.2 RÉPONSE À UN STIMULUS DOUBLE

- Pas toujours de repolarisation, si DI est trop faible on n'en observe pas



- La littérature donne : $DI_{seuil} = \tau_{open} \ln\left(\frac{1-h_{seuil}}{1-h_{min}}\right)$ avec $h_{seuil} = \frac{h_{min}}{4v_{stim}(1-v_{stim})}$

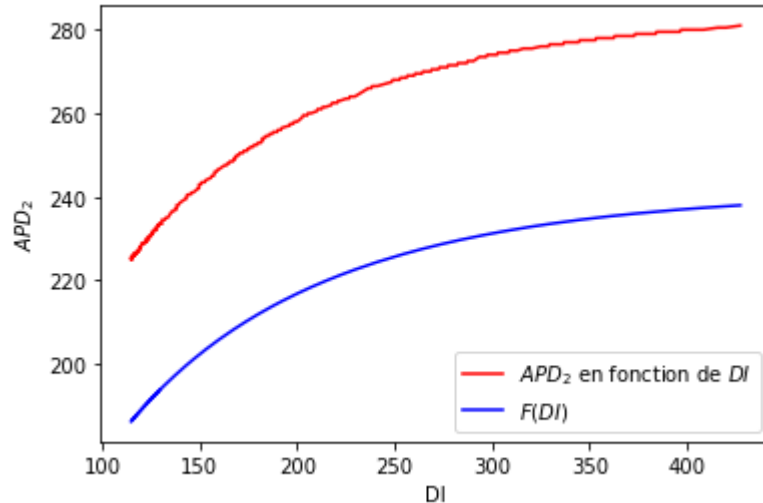
III.2.2 RÉPONSE À UN STIMULUS DOUBLE – COURBE DE RESTITUTION

Mitchell-
Schaeffer



$$F(DI) = \tau_{close} \ln\left(\frac{h(S)}{h_{min}}\right) = \tau_{close} \ln\left(\frac{1 - (1 - h_{min}) \exp\left(-\frac{DI}{\tau_{open}}\right)}{h_{min}}\right)$$

- Vérification de cette formule analytique en utilisant APD_1st qui fournit les extrema locaux de h , donnant ainsi les différents temps où v passe par v_{gate} et donc les durées qui nous intéressent



➡ A une translation près, le résultat est bien en accord avec la formule



MODÈLE FKPP

SCHÉMAS DE RÉOLUTION





- Modèle de réaction & diffusion $\frac{\partial u}{\partial t} = ku(1-u) + D \frac{\partial^2 u}{\partial x^2}$
- Discrétisation en espace et en temps

$$\begin{aligned}\frac{\partial u}{\partial t}(t, x) &\approx \frac{u(t+k, x) - u(t, x)}{k} && \text{progressive} \\ \frac{\partial u}{\partial t}(t, x) &\approx \frac{u(t, x) - u(t-k, x)}{k} && \text{retrograde} \\ \frac{\partial^2 u}{\partial x^2}(t, x) &\approx \frac{u(t, x+h) - 2u(t, x) + u(t, x-h)}{h^2}\end{aligned}$$

On discrétise $[0, T] \times [-a, a]$, $\tau = \Delta t = \frac{T}{M+1}$ et $h = \Delta x = \frac{2a}{N+1}$
 $t_j = j\tau : 0 \leq j \leq M+1, x_n = -a + nh : 0 \leq n \leq N+1$

On pose U_n^j avec $0 \leq j \leq M+1$ et $0 \leq n \leq N+1$, une approximation de $u(t_j, x_n)$.

$$\frac{U_{j+1}^n - U_j^n}{\tau} - \frac{U_j^{n+1} - 2U_j^n + U_j^{n-1}}{h^2} = U_j^n (1 - U_j^n) \quad (1)$$

$$\frac{U_j^n - U_{j-1}^n}{k} - \frac{U_j^{n+1} - 2U_j^n + U_j^{n-1}}{h^2} = U_{j-1}^n (1 - U_{j-1}^n) \quad (2)$$

IV. 2 SCHÉMA EXPLICITE

FKPP

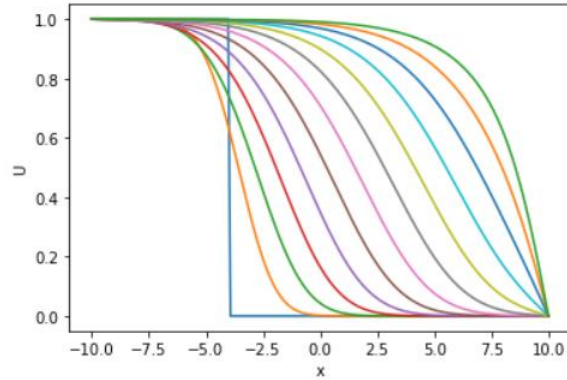


$$U^{n+1} = \left(I - \frac{\tau}{h^2} A \right) U^n + \tau F^n$$

$$\text{avec } F_j^n = U_j^n (1 - U_j^n) \text{ si } 2 \leq n \neq N \text{ et } F_1^n = \frac{1}{h^2} + U_1^n (1 - U_1^n)$$

où I représente la matrice identité et A est définie

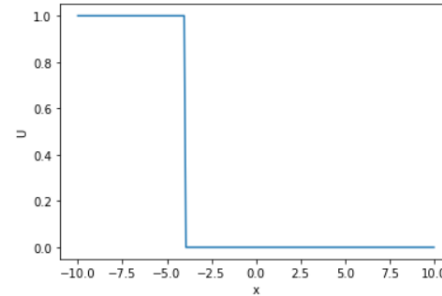
$$A = \begin{pmatrix} 2 & -1 & & & \\ -1 & 2 & -1 & & \\ & \ddots & \ddots & \ddots & \\ & & \ddots & \ddots & -1 \\ & & & -1 & 2 \end{pmatrix}$$



➤ `schem_expl (y1,10,10,10000,200)`

➤ `schem_expl (y1,10,10,2000,200)`

```
<ipython-input-190-2f1754cb2a04>:12: RuntimeWarning: overflow encountered in multiply  
F=Y[i,1:-1]*(1-Y[i,1:-1])
```

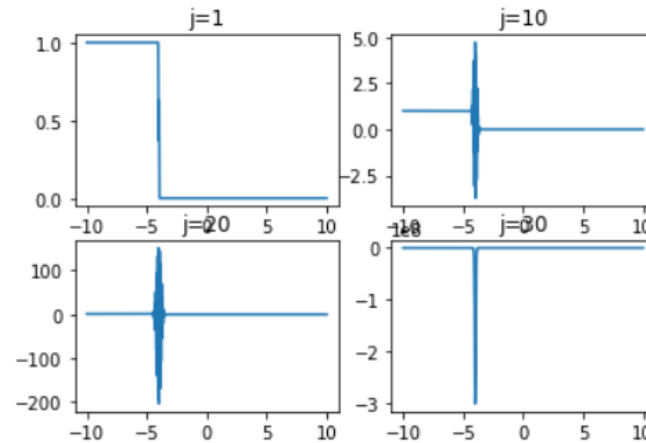


IV.2. 1 STABILITÉ DE LA MÉTHODE

FKPP



➤ `schem_expl (y1,10,10,10000,500)`



$$\tau = \Delta t \leq 2 \text{ et } \frac{\Delta t}{\Delta x^2} \leq \frac{1}{2} - \frac{\Delta t}{4}.$$



$$\frac{U_j^n - U_j^{n-1}}{k} - \frac{U_{j+1}^n - 2U_j^n + U_{j-1}^n}{h^2} = U_j^{n-1} (1 - U_j^{n-1})$$

on a

$$\mathfrak{T} \quad \left(I + \frac{\tau}{h^2} A \right) U^{(n+1)} = U^{(n)} + \tau F^{(n)}$$

$$\text{avec } F_j^n = U_{n,j} (1 - U_{n,j}) \text{ si } 2 \leq n \neq N \text{ et } F_1^n = \frac{1}{h^2} + U_{1,j} (1 - U_{1,j})$$

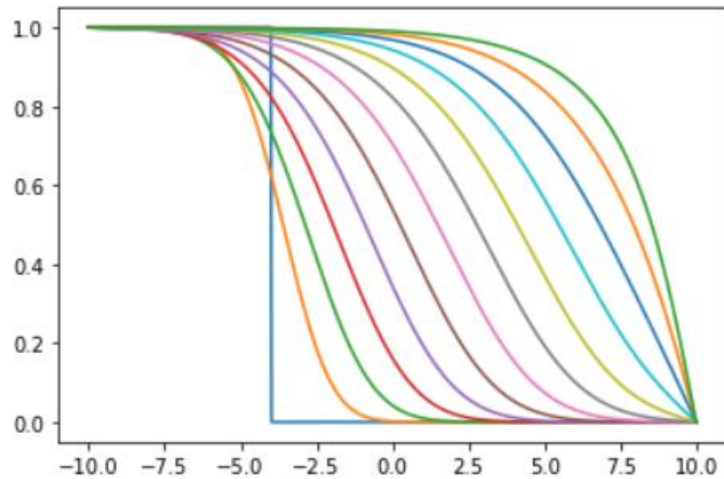
avec A la même matrice de Dirichlet.

IV.3.1 STABILITÉ

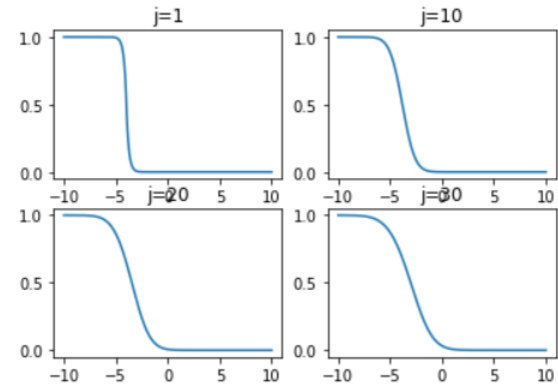
FKPP



➤ `schem_semi_impl(y1,10,10,1000,800)`



➤ `schem_semi_impl(y1,10,10,200,300)`





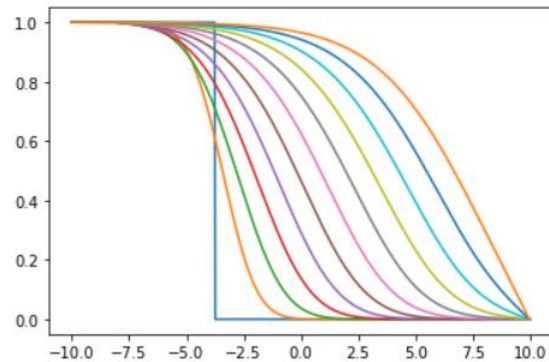
$$\begin{aligned}\frac{U_j^{n+1} - U_j^n}{k} - \frac{U_{j+1}^{n+1} - 2U_j^{n+1} + U_{j-1}^{n+1}}{h^2} &= U_j^{n+1} (1 - U_j^{n+1}) \\ U_j^{n+1} - U_j^n - \frac{\tau}{h^2} (U_{j+1}^{n+1} - 2U_j^{n+1} + U_{j-1}^{n+1}) &= \tau U_j^{n+1} (1 - U_j^{n+1}) \\ U_j^{n+1} &= U_j^n + \tau \left(\frac{1}{h^2} (U_{j+1}^{n+1} - 2U_j^{n+1} + U_{j-1}^{n+1}) - U_j^{n+1} (1 - U_j^{n+1}) \right) \\ y_{n+1} &= y_n + \tau f(t_{n+1}, y_{n+1})\end{aligned}$$

IV.2 STABILITÉ

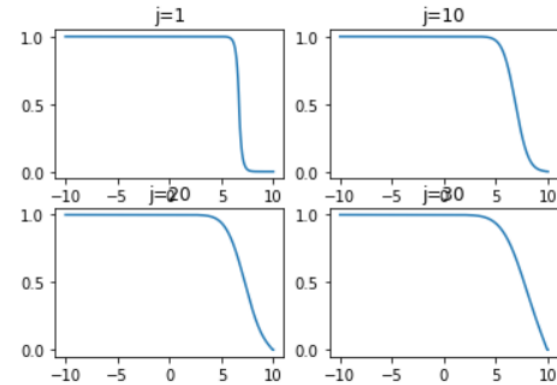
FKPP



➤ $T = 10, N = 800, M = 1000$



➤ $T = 10, N = 300, M = 200$

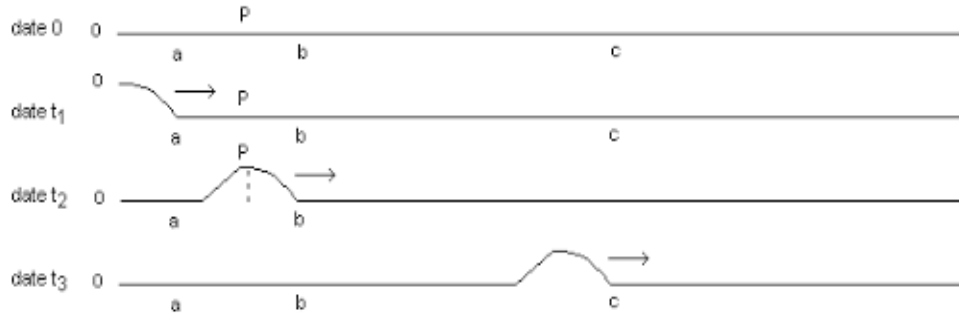


IV.4. DÉTERMINATION DE LA VITESSE PAR LA MÉTHODE NUMÉRIQUE

FKPP



- On détermine le temps t auquel l'onde atteint un point b à une distance d de l'origine et on en déduit la vitesse de propagation de l'onde



Chaque point P de la corde se soulève **verticalement**. Le signal se propage **horizontalement**. Il est **transversal**.

La **vitesse** de propagation est $v = \frac{ab}{t_2 - t_1} = \frac{bc}{t_3 - t_2}$

Utilisation d'une valeur seuil arbitraire ϵ pour retrouver le temps d'atteinte de l'onde

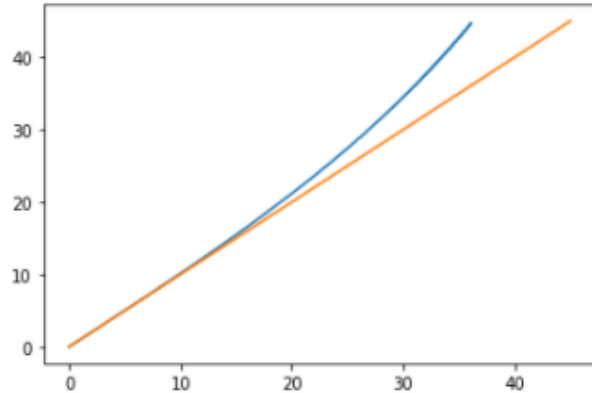
IV.4. DÉTERMINATION DE LA VITESSE PAR LA MÉTHODE NUMÉRIQUE

FKPP



Courbe bleu : vitesse numérique en fonction de la vitesse analytique

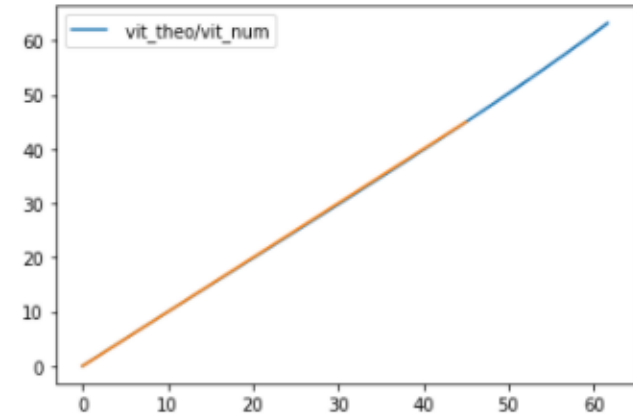
Courbe rouge : première bissectrice



Explication:

- Problème d'ordre de la méthode
- Problème de situation de simulation
- Problème de pas de temps ou d'espace

$$c_{\min} = 2(kD)^{1/2}$$



Adaptation du pas de temps l'information recherché
quitte à perdre en temps d'exécution



RETOUR AU MODÈLE DE MITCHELL-SCHAEFFER

PROPAGATION DANS LE TISSU CARDIAQUE



V.1. UTILISATION D'ODEINT

Mitchell-
Schaeffer



- Les équations deviennent :

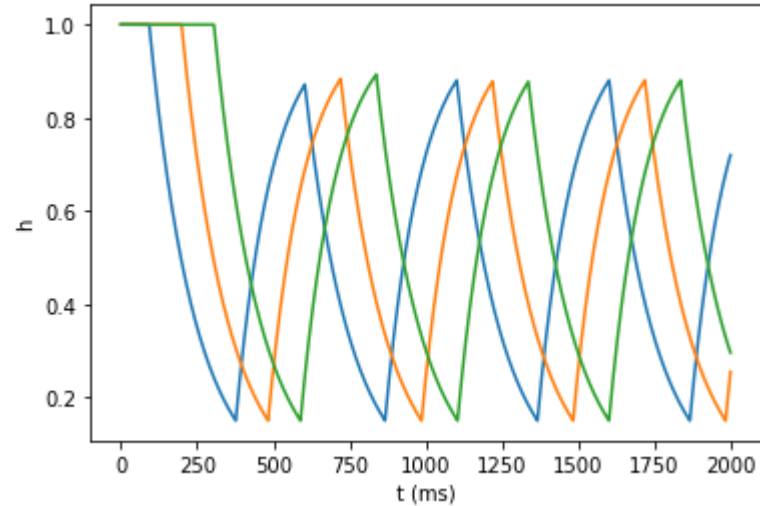
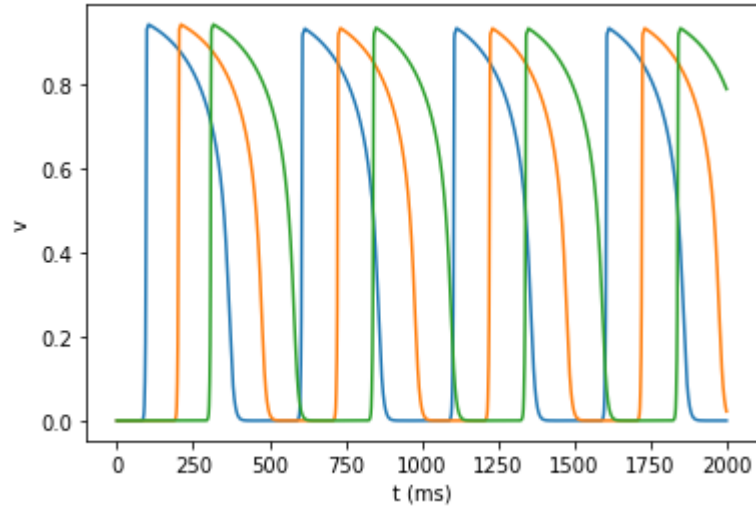
$$\frac{\partial v}{\partial t} = \kappa \frac{\partial^2 v}{\partial x^2} + \frac{h}{\tau_{in}} v^2 (1 - v) - \frac{v}{\tau_{out}}$$

$$\frac{dh}{dt} = \begin{cases} \frac{1-h}{\tau_{open}} & \text{si } v < v_{gate} \\ \frac{-h}{\tau_{close}} & \text{si } v > v_{gate} \end{cases}$$

- Utilisation d'Odeint en discrétisant l'espace
- Un vecteur abritant v et h en ces points discrets

UTILISATION D'ODEINT - RÉSULTATS

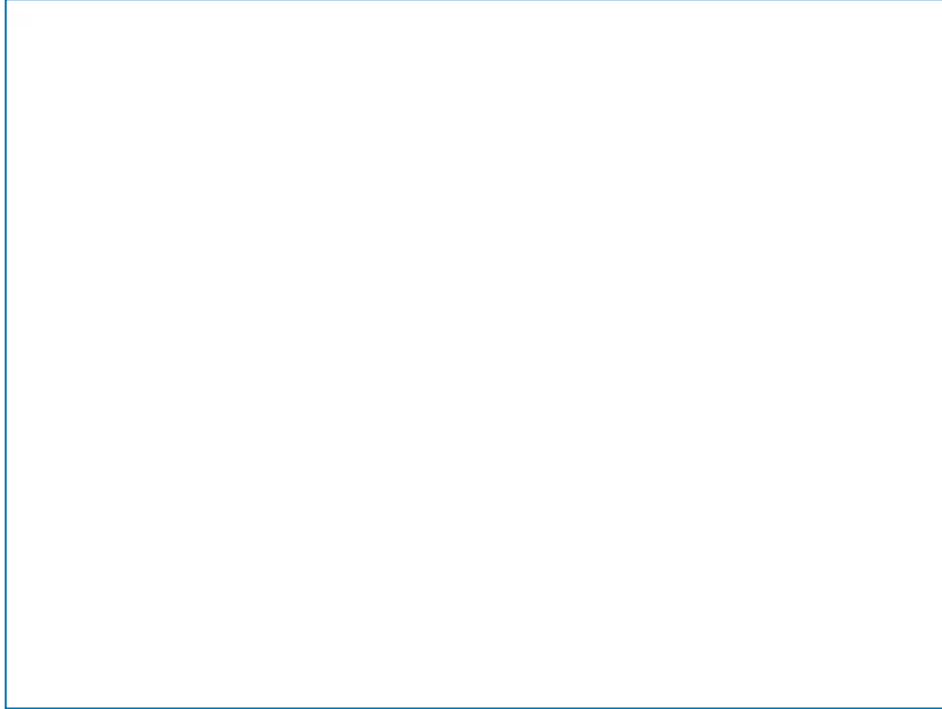
Mitchell-
Schaeffer



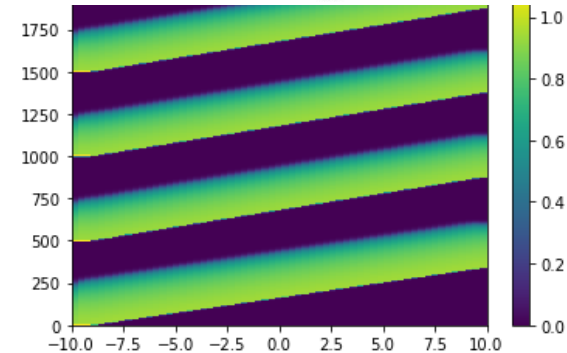
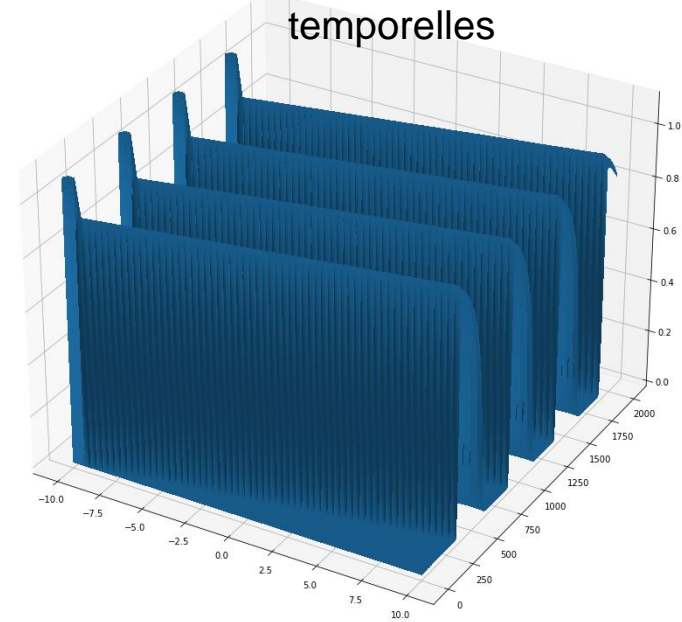
➡ Propagation observée car le potentiel atteint les points de l'espace à des instants différents

UTILISATION D'ODEINT - RÉSULTATS

Variations du potentiel dans
le temps



Variations spatio-
temporelles



V.2.1 MITCHELL ET SCHAEFFER EULER EXPLICITE

Mitchell-
Schaeffer



discretisation :

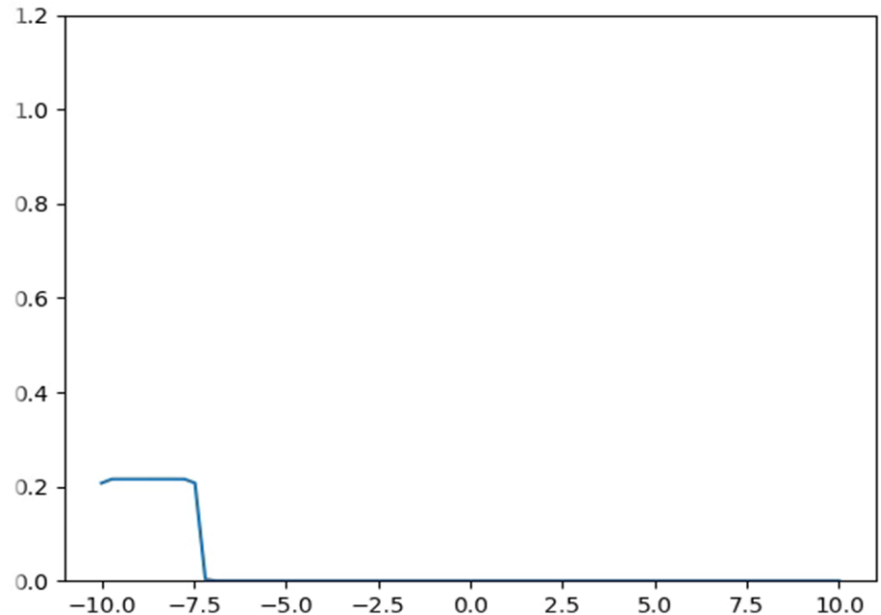
$$\frac{V_{j+1,n} - V_{j,n}}{dt} - k \frac{V_{j,n+1} - 2V_{j,n} + V_{j,n-1}}{dx^2} = \frac{H_{j,n}}{\tau_{in}} V_{j,n}^2 (1 - V_{j,n}) - \frac{V_{j,n}}{\tau_{out}}$$

$$\frac{H_{j+1,n} - H_{j,n}}{dt} = \begin{cases} \frac{1 - H_{j,n}}{\tau_{open}} & \text{si } V_{j,n} \leq v_{crit} \\ \frac{-H_{j,n}}{\tau_{close}}, & \text{si } V_{j,n} > v_{crit}. \end{cases}$$

l'équation sous sa forme matricielle est donc:

$$U^{(j+1)} = (I - \frac{k}{dx^2} A) U^{(j)} + dt F^{(j)}$$

$$\text{avec } F_n^j = \frac{H_{j,n}}{\tau_{in}} V_{j,n}^2 (1 - V_{j,n}) - \frac{V_{j,n}}{\tau_{out}} \text{ si } 0 \leq n \neq N + 1 \text{ \$}$$



V.2.2 MITCHELL ET SCHAEFFER EULER EXPLICITE

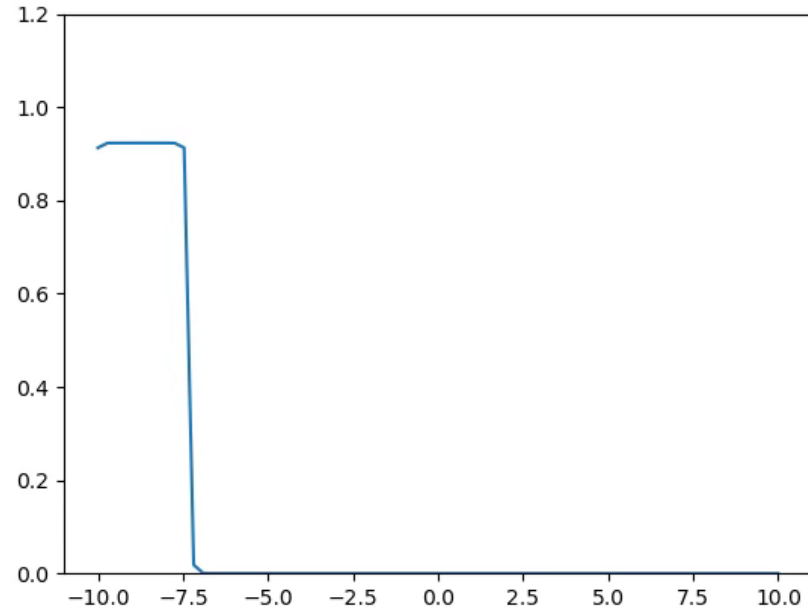
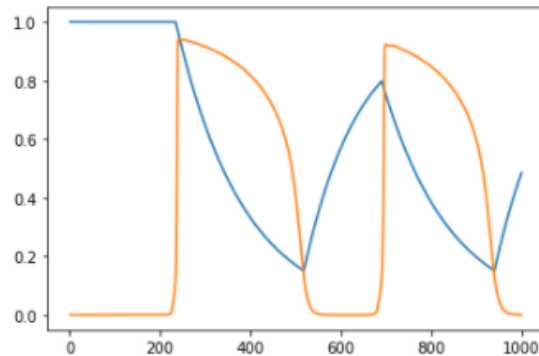
Mitchell-
Schaeffer



Réponse à un Stimulus :

- Stimulation d'une portion du coté droit de notre segment

$$\frac{dv}{dt} = J_{\text{in}}(v, h) + J_{\text{out}}(v) + J_{\text{stim}}(t)$$



V.2.3 VITESSE DE PROPAGATION MITCHELL ET SCHAEFFER

Mitchell-
Schaeffer



la vitesse en fonction de $\sqrt{\frac{2k}{\tau_{in}}}$

- Équation FKPP :

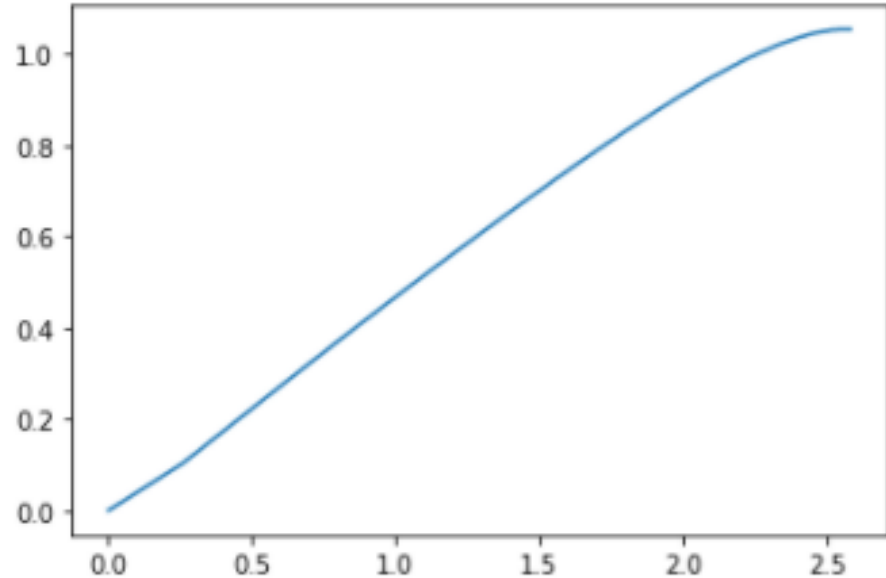
$$\frac{\partial u}{\partial t} = ku(1 - u) + D \frac{\partial^2 u}{\partial x^2},$$

pour un $D = 1$, on avait la relation $v = 2\sqrt{k}$.

- Équation Mitchell et Schaeffer :

$$\frac{\partial v}{\partial t} = k \frac{\partial^2 v}{\partial x^2} + \frac{h}{\tau_{in}} v^2(1 - v) - \frac{v}{\tau_{out}}$$

On intuite $v = G() \sqrt{\frac{2k}{\tau_{in}}}$



Intuition vérifiée par l'allure de
la courbe

$$c_{\text{dyn}} = \left(\frac{1}{2} V_+ - V_- \right) \sqrt{\frac{2\kappa h^*}{\tau_{in}}}.$$

V.3.1 MITCHELL ET SCHAEFFER 2D

Mitchell-
Schaeffer



- Équation :

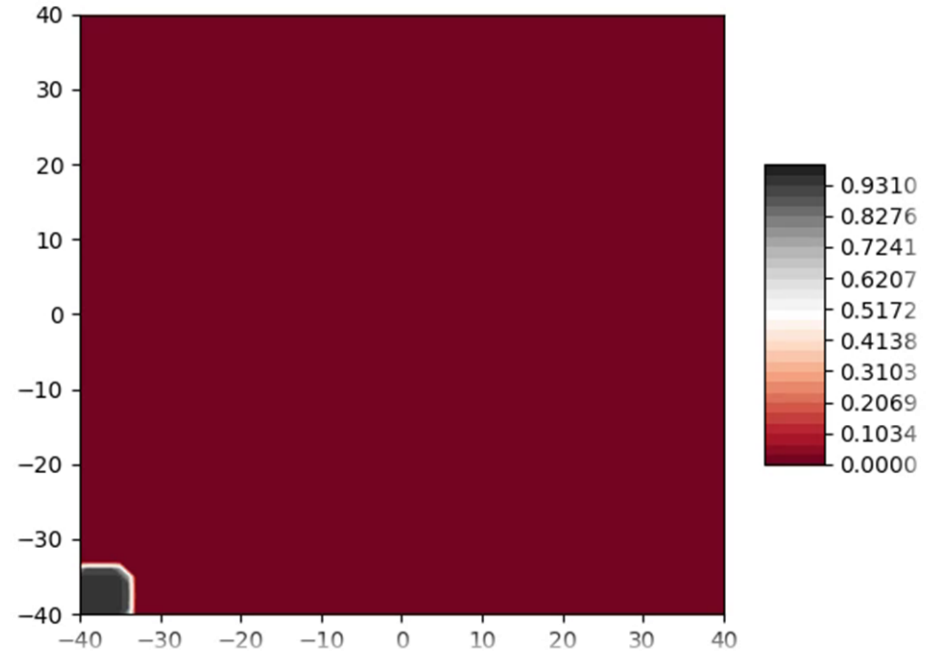
$$\frac{\partial v}{\partial t} = k \left(\frac{\partial^2 v}{\partial x^2} + \frac{\partial^2 v}{\partial y^2} \right) + \frac{h}{\tau_{in}} v^2 (1 - v) - \frac{v}{\tau_{out}}$$

$$\frac{\partial h}{\partial t} = \begin{cases} \frac{1-h}{\tau_{open}} & \text{si } v \leq v_{gate} \\ \frac{-h}{\tau_{close}}, & \text{si } v > v_{gate}. \end{cases}$$

- Discrétisation:

$$\frac{V_{i,j}^{n+1} - V_{i,j}^n}{dt} - k \left(\frac{V_{i+1,j}^n - 2V_{i,j}^n + V_{i-1,j}^n}{dx^2} + \frac{V_{i,j+1}^n - 2V_{i,j}^n + V_{i,j-1}^n}{dy^2} \right) = \frac{H_{i,j}^n}{\tau_{in}} (V_{i,j}^n)^2 (1 - V_{i,j}^n) - \frac{V_{i,j}^n}{\tau_{out}}$$

$$\frac{H_{i,j}^{n+1} - H_{i,j}^n}{dt} = \begin{cases} \frac{1 - H_{i,j}^n}{\tau_{open}} & \text{si } V_{i,j}^n \leq v_{crit} \\ \frac{-H_{i,j}^n}{\tau_{close}}, & \text{si } V_{i,j}^n > v_{crit}. \end{cases}$$



V.3.1 FIBRILLATION CARDIAQUE

- **Fibrillation cardiaque:**
battements anarchiques du cœur
- **cause :** repolarisation
précoce de certaine zone du cœur

sens des paramètres du modèle:

- τ_{in} Correspond à la durée de la phase de dépolarisation
- τ_{out} Correspond à la durée de la phase repolarisation

